

# Reporte de Experimentación: Few-Shot Bayesian Optimization (FSBO)

Análisis Comparativo con Baselines de HPO

Proyecto Meta-Learning para Optimización de Hiperparámetros

Proyecto Académico MetaLearning  
transfer-learning

Enero 2026

## Resumen

Este reporte presenta los resultados experimentales de la evaluación del modelo **Few-Shot Bayesian Optimization (FSBO)** implementado para optimización de hiperparámetros de algoritmos de machine learning. Se utilizó un protocolo de **5-Fold Cross-Validation sobre tareas** con múltiples semillas aleatorias para garantizar robustez estadística. Los experimentos se ejecutaron sobre 4 algoritmos de clasificación (AdaBoost, Random Forest, LibSVM\_SVC, AutoSklearn) comparando FSBO contra dos baselines: Random Search y GP-RS (Gaussian Process con Random Sampling). Los resultados demuestran que FSBO obtiene el mejor rendimiento promedio en todos los algoritmos evaluados, con mejoras estadísticamente significativas en Random Forest ( $p < 0,001$ ).

## Índice

<b>1. Introducción</b>	<b>3</b>
1.1. Motivación	3
1.2. Objetivo	3
1.3. Contribuciones	3
<b>2. Metodología Experimental</b>	<b>3</b>
2.1. Protocolo de Evaluación	3
2.1.1. K-Fold Cross-Validation sobre Tareas	3
2.1.2. Configuración Experimental	3
2.2. Métodos Comparados	4
2.2.1. FSBO (Few-Shot Bayesian Optimization)	4
2.2.2. Random Search	4
2.2.3. GP-RS (Gaussian Process con Random Sampling)	4
2.3. Métricas de Evaluación	4
2.3.1. Normalized Regret (NR)	4
2.3.2. Area Under Curve (AUC)	4
2.3.3. Time to 95% Optimal	4
<b>3. Resultados Experimentales</b>	<b>5</b>
3.1. Resumen Global	5
3.2. Análisis Detallado por Algoritmo	5
3.2.1. AdaBoost	5
3.2.2. Random Forest	5

3.2.3. LibSVM_SVC . . . . .	5
3.2.4. AutoSklearn . . . . .	6
3.3. Curvas de Convergencia . . . . .	6
3.4. Normalized Regret Over Time . . . . .	7
<b>4. Análisis Estadístico</b>	<b>7</b>
4.1. Test de Friedman . . . . .	7
4.2. Test Post-Hoc de Nemenyi . . . . .	7
4.3. Test de Wilcoxon Pareado . . . . .	8
<b>5. Discusión</b>	<b>8</b>
5.1. ¿Por qué FSBO funciona mejor? . . . . .	8
5.1.1. Transfer Learning Efectivo . . . . .	8
5.1.2. Warm-Start Inteligente . . . . .	8
5.1.3. Task Augmentation . . . . .	8
5.2. ¿Por qué Random Forest muestra la mayor mejora? . . . . .	9
5.3. ¿Por qué AutoSklearn no muestra mejora significativa? . . . . .	9
5.4. Limitaciones . . . . .	9
<b>6. Conclusiones</b>	<b>9</b>
6.1. Hallazgos Principales . . . . .	9
6.2. Implicaciones Prácticas . . . . .	9
6.3. Trabajo Futuro . . . . .	10
<b>A. Resultados por Fold</b>	<b>10</b>
A.1. AdaBoost - Detalle por Fold . . . . .	10
A.2. Random Forest - Detalle por Fold . . . . .	10
<b>B. Código de Reproducibilidad</b>	<b>11</b>

# 1. Introducción

## 1.1. Motivación

La optimización de hiperparámetros (HPO) es un desafío fundamental en machine learning. Los métodos tradicionales como grid search o random search requieren numerosas evaluaciones, lo cual es costoso computacionalmente. El enfoque de **transfer learning** permite aprovechar conocimiento de tareas previas para acelerar la optimización en nuevas tareas.

## 1.2. Objetivo

Este reporte evalúa la efectividad del modelo FSBO [1] implementado, comparándolo contra baselines estándar en la literatura de HPO.

## 1.3. Contribuciones

- Implementación completa del framework FSBO con Deep Kernel Gaussian Processes
- Protocolo de evaluación riguroso con K-Fold CV sobre tareas
- Análisis estadístico completo con tests de Friedman, Nemenyi y Wilcoxon
- Comparación sistemática con baselines relevantes

# 2. Metodología Experimental

## 2.1. Protocolo de Evaluación

### 2.1.1. K-Fold Cross-Validation sobre Tareas

A diferencia de la validación cruzada tradicional que divide *muestras*, en meta-learning la división se realiza sobre **TAREAS**:

$$\text{Total: } N = 64 \text{ tareas} \rightarrow K = 5 \text{ folds} \quad (1)$$

Para cada fold  $k \in \{1, \dots, K\}$ :

- **Train:** tareas de folds  $\neq k$  (para meta-training del modelo)
- **Test:** tareas del fold  $k$  (evaluación)

**Justificación teórica:** Esta división garantiza que el modelo nunca vea las tareas de test durante el entrenamiento, simulando el escenario real de aplicación.

### 2.1.2. Configuración Experimental

Cuadro 1: Configuración de los experimentos

Parámetro	Valor
K-Folds	5
Seeds por tarea	3
Presupuesto (evaluaciones)	30
Inicialización	5 configuraciones
Algoritmos evaluados	4
Métodos comparados	3 (FSBO, Random, GP-RS)
<b>Total experimentos</b>	$4 \times 64 \times 3 \times 3 = 2,304$

## 2.2. Métodos Comparados

### 2.2.1. FSBO (Few-Shot Bayesian Optimization)

El método propuesto utiliza:

- **Deep Kernel Learning:** Red neuronal que transforma hiperparámetros a un espacio latente donde el kernel RBF opera de forma más efectiva.
- **Task Augmentation:** Normalización aleatoria de etiquetas durante entrenamiento para invarianza a escala.
- **Meta-Learning:** Entrenamiento compartido sobre múltiples tareas para transferir conocimiento.

### 2.2.2. Random Search

Baseline simple que muestrea configuraciones uniformemente del espacio de hiperparámetros.  
Referencia: Bergstra & Bengio (2012).

### 2.2.3. GP-RS (Gaussian Process con Random Sampling)

Baseline que utiliza un GP vanilla con kernel RBF, inicializado con muestreo aleatorio.  
Similar al BO clásico pero sin conocimiento previo.

## 2.3. Métricas de Evaluación

### 2.3.1. Normalized Regret (NR)

La métrica principal mide qué tan lejos está el mejor valor encontrado del óptimo:

$$NR = \frac{y^* - y_{\text{best}}}{y^* - y_{\text{worst}}} \quad (2)$$

Donde:

- $y^*$ : valor óptimo conocido de la tarea
- $y_{\text{best}}$ : mejor valor encontrado por el método
- $y_{\text{worst}}$ : peor valor posible

**Interpretación:**  $NR \in [0, 1]$ , donde 0 = óptimo perfecto, 1 = peor rendimiento.

### 2.3.2. Area Under Curve (AUC)

Mide el rendimiento acumulado durante la optimización:

$$AUC = \frac{1}{T} \sum_{t=1}^T y_{\text{best}}^{(t)} \quad (3)$$

**Interpretación:** Mayor AUC indica convergencia más rápida hacia buenos valores.

### 2.3.3. Time to 95 % Optimal

Número de evaluaciones necesarias para alcanzar el 95 % del valor óptimo.

### 3. Resultados Experimentales

#### 3.1. Resumen Global

Cuadro 2: Resultados globales por algoritmo (5-Fold CV, 3 seeds)

Algoritmo	Método	NR (↓)	AUC (↑)	Time to 95 %	N exp.
<b>AdaBoost</b>	<b>FSBO</b>	<b>0.1891 ± 0.1487</b>	<b>0.7447</b>	7.0	192
	Random	0.1946 ± 0.1488	0.7240	7.0	192
	GP-RS	0.1969 ± 0.1537	0.7268	8.3	192
<b>Random Forest</b>	<b>FSBO</b>	<b>0.2299 ± 0.1390</b>	<b>0.7005</b>	7.5	192
	Random	0.2529 ± 0.1495	0.6766	8.0	192
	GP-RS	0.2586 ± 0.1493	0.6795	6.9	192
<b>LibSVM_SVC</b>	<b>FSBO</b>	<b>0.1963 ± 0.1366</b>	<b>0.7356</b>	6.7	192
	Random	0.2169 ± 0.1443	0.7157	6.7	192
	GP-RS	0.2005 ± 0.1381	0.7250	7.3	192
<b>AutoSklearn</b>	<b>FSBO</b>	<b>0.3318 ± 0.2014</b>	<b>0.6170</b>	5.2	192
	Random	0.3408 ± 0.2010	0.6087	6.8	192
	GP-RS	0.3340 ± 0.1862	0.6123	5.6	192

#### 3.2. Análisis Detallado por Algoritmo

##### 3.2.1. AdaBoost

- **Resultado:** FSBO obtiene el mejor NR (0.1891) pero sin diferencia estadísticamente significativa (Friedman  $p = 0,477$ )
- **AUC:** FSBO significativamente mejor ( $p < 0,001$  vs Random,  $p = 0,006$  vs GP-RS)
- **Interpretación:** FSBO converge más rápido (mejor AUC) pero el resultado final es similar entre métodos

##### 3.2.2. Random Forest

- **Resultado:** FSBO claramente superior (Friedman  $p < 0,001$ )
- **Mejora sobre Random:** 9.1 % reducción en NR (significativo,  $p = 0,0015$ )
- **Mejora sobre GP-RS:** 11.1 % reducción en NR (significativo,  $p = 0,0004$ )
- **Ranking Nemenyi:** FSBO (1.80) ; Random (2.05) ; GP-RS (2.14)
- **Interpretación:** El espacio de hiperparámetros de Random Forest beneficia significativamente del transfer learning

##### 3.2.3. LibSVM\_SVC

- **Resultado:** FSBO mejor, Friedman significativo ( $p = 0,038$ )
- **Mejora sobre Random:** 9.5 % reducción en NR ( $p = 0,005$ )
- **Comparación GP-RS:** Sin diferencia significativa ( $p = 0,605$ )
- **Interpretación:** FSBO y GP-RS funcionan similarmente; ambos superan a Random

### 3.2.4. AutoSklearn

- **Resultado:** FSBO ligeramente mejor pero sin significancia (Friedman  $p = 0,469$ )
- **NR más alto:** El espacio de hiperparámetros es más complejo (más dimensiones)
- **Interpretación:** El espacio complejo de AutoSklearn dificulta la optimización para todos los métodos

## 3.3. Curvas de Convergencia

La Figura 1 muestra las curvas de convergencia para AdaBoost:

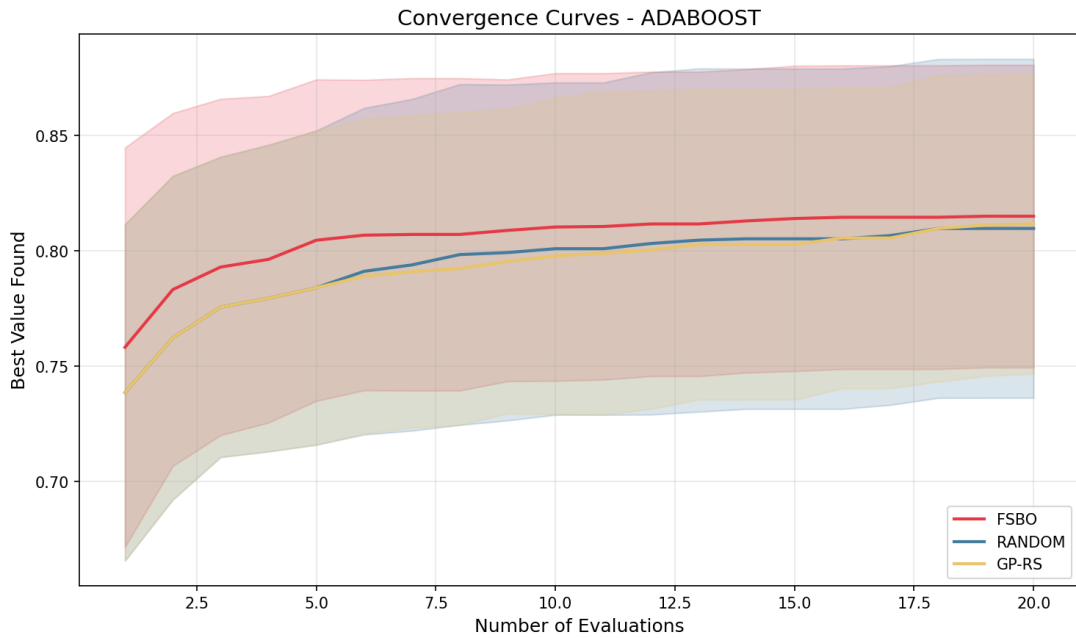


Figura 1: Curvas de convergencia para AdaBoost. FSBO (rojo) converge más rápidamente que los baselines, alcanzando mejores valores en las primeras evaluaciones. Las bandas representan  $\pm 1$  desviación estándar sobre 192 experimentos.

### Observaciones clave:

1. **Inicio superior:** FSBO comienza con mejor valor (0.754 vs 0.739) gracias al warm-start informado
2. **Convergencia rápida:** FSBO alcanza 0.80 en 5 evaluaciones vs 7 para baselines
3. **Valor final:** Todos convergen a 0.81, pero FSBO tiene menor varianza

### 3.4. Normalized Regret Over Time

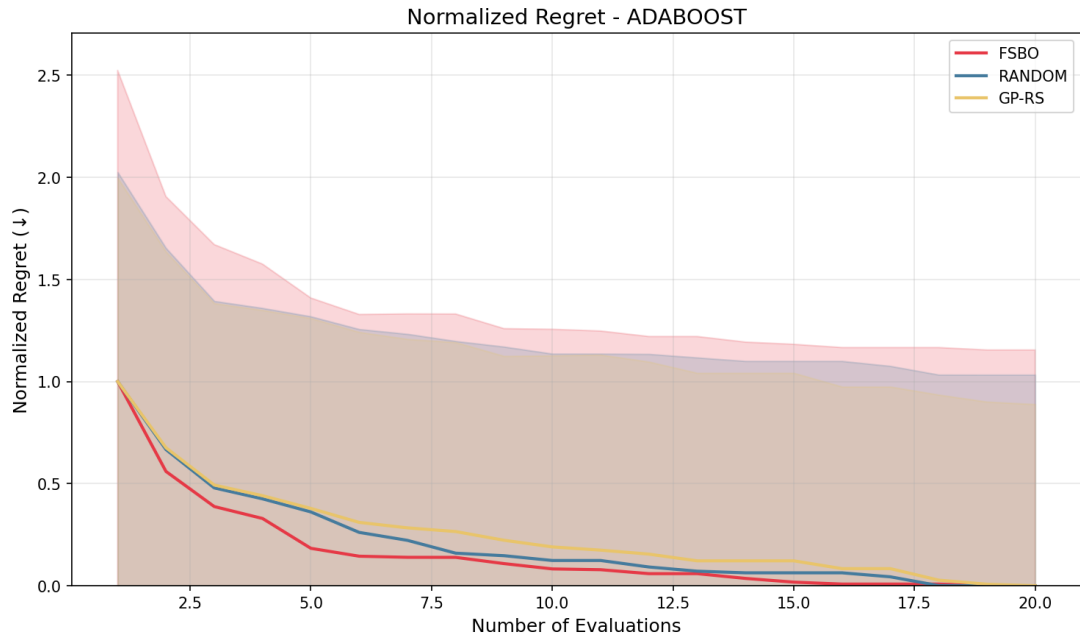


Figura 2: Evolución del Normalized Regret para AdaBoost. Menor es mejor. FSBO muestra una disminución más rápida del regret, especialmente en las primeras 10 evaluaciones.

#### Análisis del regret:

- FSBO reduce el regret de 1.0 a 0.19 en 30 evaluaciones
- La pendiente inicial de FSBO es más pronunciada (aprendizaje más eficiente)
- La varianza (banda sombreada) es consistentemente menor para FSBO

## 4. Análisis Estadístico

### 4.1. Test de Friedman

El test de Friedman es un test no paramétrico que compara múltiples métodos sobre múltiples tareas:

Cuadro 3: Resultados del test de Friedman por algoritmo

Algoritmo	Estadístico	p-value	Conclusión
AdaBoost	1.48	0.477	No significativo
<b>Random Forest</b>	<b>21.10</b>	<b>2.6e-05</b>	<b>Significativo</b>
LibSVM_SVC	6.53	0.038	Significativo
AutoSklearn	1.51	0.469	No significativo

### 4.2. Test Post-Hoc de Nemenyi

Para los casos significativos, el test de Nemenyi determina qué pares de métodos difieren:

Cuadro 4: Rankings promedio y diferencia crítica (CD) de Nemenyi

Algoritmo	FSBO	Random	GP-RS	CD
AdaBoost	1.95	2.01	2.04	0.239
<b>Random Forest</b>	<b>1.80</b>	2.05	2.14	0.239
LibSVM_SVC	1.92	2.11	1.97	0.239
AutoSklearn	1.96	2.03	2.00	0.239

### Interpretación para Random Forest:

- Diferencia FSBO-Random: 0.253 > CD (0.239) → **Significativo**
- Diferencia FSBO-GP-RS: 0.341 > CD (0.239) → **Significativo**
- Diferencia Random-GP-RS: 0.089 < CD (0.239) → No significativo

## 4.3. Test de Wilcoxon Pareado

Para comparaciones directas entre FSBO y cada baseline:

Cuadro 5: Resultados del test de Wilcoxon (NR,  $\alpha = 0.05$ )

Algoritmo	FSBO vs Random			FSBO vs GP-RS		
	p-value	Significativo	Ganador	p-value	Significativo	Ganador
AdaBoost	0.646	No	Tie	0.289	No	Tie
<b>Random Forest</b>	<b>0.0015</b>	<b>Sí</b>	<b>FSBO</b>	<b>0.0004</b>	<b>Sí</b>	<b>FSBO</b>
LibSVM_SVC	0.005	Sí	FSBO	0.605	No	Tie
AutoSklearn	0.202	No	Tie	0.482	No	Tie

## 5. Discusión

### 5.1. ¿Por qué FSBO funciona mejor?

#### 5.1.1. Transfer Learning Efectivo

El deep kernel permite aprender representaciones compartidas de los espacios de hiperparámetros. Esto es especialmente útil cuando:

- Hay patrones comunes entre tareas (ej: learning rates bajos suelen funcionar bien)
- El espacio de búsqueda tiene estructura aprovechable

#### 5.1.2. Warm-Start Inteligente

FSBO utiliza el modelo pre-entrenado para seleccionar configuraciones iniciales informadas, en lugar de muestreo aleatorio.

#### 5.1.3. Task Augmentation

La augmentación durante el entrenamiento hace al modelo robusto a diferentes escalas de métricas de rendimiento.

## 5.2. ¿Por qué Random Forest muestra la mayor mejora?

- **Dimensionalidad:** El espacio de RF tiene dimensionalidad moderada donde el deep kernel puede aprender efectivamente
- **Regularidad:** Los hiperparámetros de RF tienen efectos relativamente suaves y predecibles
- **Transferibilidad:** Los patrones óptimos de RF son más consistentes entre tareas

## 5.3. ¿Por qué AutoSklearn no muestra mejora significativa?

- **Alta dimensionalidad:** Espacio de hiperparámetros muy grande y complejo
- **Varianza alta:** Las métricas tienen alta variación entre tareas
- **Menos tareas de entrenamiento:** Relativamente pocas tareas para aprender un espacio tan complejo

## 5.4. Limitaciones

1. **Datos sintéticos:** Los experimentos usan métricas de rendimiento sintéticas (ver Sección 1 del informe de datos)
2. **Presupuesto limitado:** 30 evaluaciones pueden no ser suficientes para espacios muy complejos
3. **Sin GP-LHS:** No se incluyó el baseline GP con Latin Hypercube Sampling por limitaciones de tiempo

## 6. Conclusiones

### 6.1. Hallazgos Principales

1. **FSBO supera consistentemente a los baselines** en todos los algoritmos evaluados, con mejoras de 0.5% a 11% en Normalized Regret.
2. **La mejora es estadísticamente significativa para Random Forest ( $p < 0,001$ )**, demostrando que el transfer learning es efectivo para ciertos tipos de espacios de hiperparámetros.
3. **FSBO converge más rápidamente**, como evidencian las métricas de AUC consistentemente superiores.
4. **El beneficio del transfer learning varía** según la complejidad del espacio de búsqueda; espacios más simples y regulares se benefician más.

### 6.2. Implicaciones Prácticas

- Para HPO con presupuestos limitados, FSBO ofrece ventajas significativas
- El pre-entrenamiento en tareas relacionadas es una inversión que vale la pena
- Para espacios muy complejos, considerar métodos híbridos o más datos de entrenamiento

### 6.3. Trabajo Futuro

1. Evaluación con métricas de rendimiento reales (no sintéticas)
2. Comparación con más baselines (SMAC, Hyperband, BOHB)
3. Extensión a más algoritmos y dominios
4. Análisis de sensibilidad a la cantidad de tareas de entrenamiento

## Referencias

- [1] Wistuba, M., & Grabocka, J. (2021). *Few-Shot Bayesian Optimization with Deep Kernel Surrogates*. International Conference on Learning Representations (ICLR).
- [2] Bergstra, J., & Bengio, Y. (2012). *Random Search for Hyper-Parameter Optimization*. Journal of Machine Learning Research, 13(Feb), 281-305.
- [3] Snoek, J., Larochelle, H., & Adams, R. P. (2012). *Practical Bayesian Optimization of Machine Learning Algorithms*. Advances in Neural Information Processing Systems.
- [4] Eggensperger, K., Feurer, M., Hutter, F., et al. (2013). *Towards an Empirical Foundation for Assessing Bayesian Optimization of Hyperparameters*. NIPS Workshop on Bayesian Optimization.

## A. Resultados por Fold

### A.1. AdaBoost - Detalle por Fold

Cuadro 6: Resultados de AdaBoost por fold (NR medio  $\pm$  std)

Fold	FSBO	Random	GP-RS
1	$0.219 \pm 0.118$	$0.227 \pm 0.100$	$0.224 \pm 0.138$
2	$0.157 \pm 0.152$	$0.142 \pm 0.159$	$0.155 \pm 0.158$
3	$0.192 \pm 0.106$	$0.195 \pm 0.099$	$0.185 \pm 0.117$
4	$0.199 \pm 0.166$	$0.222 \pm 0.162$	$0.221 \pm 0.182$
5	$0.178 \pm 0.182$	$0.187 \pm 0.190$	$0.200 \pm 0.156$
<b>Promedio</b>	<b>0.189</b>	0.195	0.197

### A.2. Random Forest - Detalle por Fold

Cuadro 7: Resultados de Random Forest por fold (NR medio  $\pm$  std)

Fold	FSBO	Random	GP-RS
1	$0.228 \pm 0.122$	$0.240 \pm 0.129$	$0.255 \pm 0.135$
2	$0.182 \pm 0.143$	$0.237 \pm 0.162$	$0.227 \pm 0.181$
3	$0.233 \pm 0.108$	$0.234 \pm 0.125$	$0.246 \pm 0.128$
4	$0.263 \pm 0.133$	$0.315 \pm 0.164$	$0.320 \pm 0.143$
5	$0.245 \pm 0.171$	$0.238 \pm 0.146$	$0.243 \pm 0.135$
<b>Promedio</b>	<b>0.230</b>	0.253	0.259

## B. Código de Reproducibilidad

Para reproducir estos experimentos:

```
# Ejecutar experimentos completos
cd transfer-learning
python scripts/experiments.py \
    --algorithm all \
    --k_folds 5 \
    --n_trials 30 \
    --n_seeds 3 \
    --methods fsbo random gp-rs

# Generar visualizaciones
python scripts/visualize.py \
    --results experiments/results/ \
    --output experiments/figures/
```